



DUT

大连理工大学

DALIAN UNIVERSITY OF TECHNOLOGY

第7章

常微分方程的数值解法



考虑常微分方程的初值问题

$$\begin{cases} u' = f(t, u), & a \leq t \leq b \\ u(a) = u_0 \end{cases} \quad (6-1)$$

或与其等价的积分方程

$$u(t) = u_0 + \int_a^t f(\tau, u(\tau)) d\tau \quad (6-2)$$

若 $f(t, u)$ 满足Lipschitz条件, 即存在常数 L , 对任意

$t \in [a, b]$, 均有

$$|f(t, u) - f(t, \bar{u})| \leq L|u - \bar{u}|$$

则 (6-1) 的解存在且唯一。



首先我们利用数值积分公式建立求解 (6-1) 或 (6-2) 的数值方法。

什么是数值解法？

它是一种离散化方法，利用这种方法，可以在一系列事先取定的 $[a, b]$ 中的离散点（称为节点）

$$a < t_1 < t_2 < \cdots < t_n \leq b$$

（通常取成等距，即 $t_i = t_0 + ih$, $i = 1, \cdots, N$ 其中 $h > 0$ 称为步长）

上求出未知函数 $u(t)$ 之值 $u(t_1), u(t_2), \cdots, u(t_N)$ 的近似值

u_1, u_2, \cdots, u_N 。而 u_1, u_2, \cdots, u_N 通常称为初值问题的数值解。



6.1.1 基于数值积分的解法

将节点取为 $t_n = a + nh$ $h = \frac{b-a}{N}$, $n = 0, 1, 2, \dots, N$

由 (6-2) ,

$$\begin{cases} u(t_{n+1}) = u(t_n) + \int_{t_n}^{t_{n+1}} f(t, u(t)) dt \\ u(t_0) = u_0 \end{cases} \quad (6-3)$$

如果 $u(t_n)$ 的近似值 u_n 已经求出, 则通过计算(6-3)右端项的数值积分可求出 $u(t_{n+1})$ 的近似值 u_{n+1} .



一、Euler法

首先，对(6-3)右端积分项使用左矩形求积公式，则得

$$u(t_{n+1}) = u(t_n) + \int_{t_n}^{t_{n+1}} f(t, u(t)) dt \approx u(t_n) + h f(t_n, u(t_n))$$

令

$$u_{n+1} = u_n + h f(t_n, u_n) \quad (6-4)$$

$$n = 0, 1, 2, \dots, N-1$$

上式称为Euler求解公式，又称矩形公式。



DUT

大连理工大学

DALIAN UNIVERSITY OF TECHNOLOGY

例：用Euler公式计算初值问题

$$\begin{cases} u'(t) = t^2 + 100u^2 \\ u(0) = 0 \end{cases}$$

的解 $u(t)$ 在 $t = 0.3$ 处的数值解 u_3 。（取步长 $h = 0.1$ ，
小数点后保留4位）。



解： 相应的Euler公式：

$$u_{n+1} = u_n + h \left(t_n^2 + 100u_n^2 \right) = u_n + 0.1 \times \left(t_n^2 + 100u_n^2 \right)$$

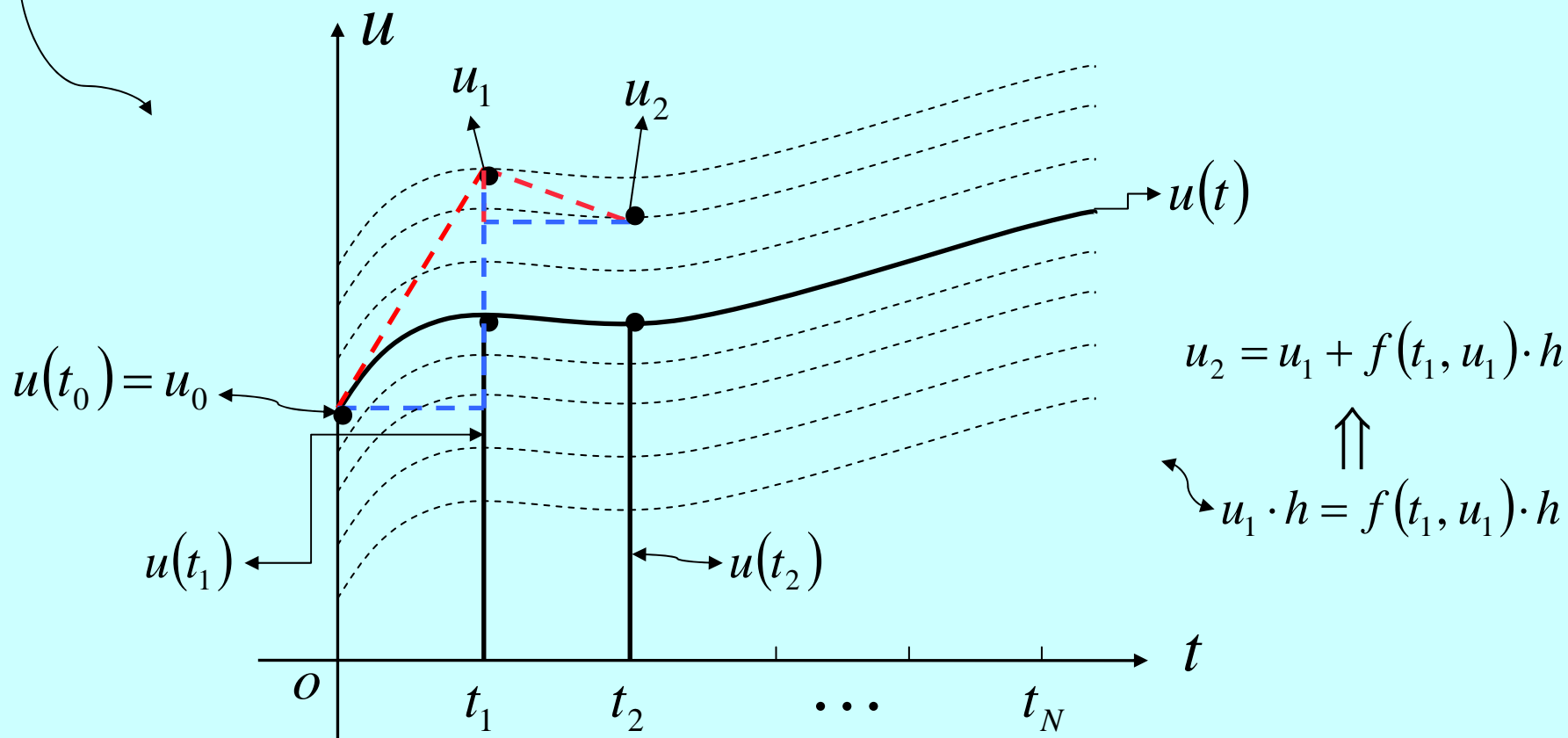
由初值 $u(0) = u_0 = 0$ ，计算得

$$\begin{aligned} u(0.1) \approx u_1 &= u_0 + 0.1 \times \left(t_0^2 + 100u_0^2 \right) \\ &= 0.0 + 0.1 \times (0.0 + 100 \times 0.0) = 0.0000 \end{aligned}$$

$$\begin{aligned} u(0.2) \approx u_2 &= u_1 + 0.1 \times \left(t_1^2 + 100u_1^2 \right) \\ &= 0.0 + 0.1 \times (0.1^2 + 100 \times 0.0) = 0.0010 \end{aligned}$$

$$\begin{aligned} u(0.3) \approx u_3 &= u_2 + 0.1 \times \left(t_2^2 + 100u_2^2 \right) \\ &= 0.0 + 0.1 \times (0.2^2 + 100 \times (0.0010)^2) = 0.0051 \end{aligned}$$

$$u'(t_0) \cdot h = f(t_0, u_0) \cdot h \quad \Rightarrow \quad u_1 = u_0 + f(t_0, u_0) \cdot h$$



Euler法（切线法）的几何解释



隐Euler法

首先，对(6-3)右端积分项使用右矩形求积公式，则得

$$u(t_{n+1}) = u(t_n) + \int_{t_n}^{t_{n+1}} f(t, u(t)) dt \approx u(t_n) + h f(t_{n+1}, u(t_{n+1}))$$

令

$$u_{n+1} = u_n + h f(t_{n+1}, u_{n+1}) \quad (7-4)$$

$$n = 0, 1, 2, \dots, N-1$$

上式称为**隐Euler公式**，又称右矩形公式。



二、梯形法

对(6-3)右端的积分使用梯形求积分式计算,

$$\int_{t_n}^{t_{n+1}} f(t, u(t)) dt \approx \frac{h}{2} [f(t_n, u(t_n)) + f(t_{n+1}, u(t_{n+1}))]$$

则得

$$u(t_{n+1}) \approx u(t_n) + \frac{h}{2} (f(t_n, u(t_n)) + f(t_{n+1}, u(t_{n+1})))$$

令

$$u_{n+1} = u_n + \frac{h}{2} (f(t_n, u_n) + f(t_{n+1}, u_{n+1})) \quad (6-5)$$

$$n = 0, 1, 2, \dots, N$$

上式称为**梯形公式**, 简称梯形法.

将Euler公式与隐式Euler公式做算术平均, 也可得出梯形公式



二、梯形法

对(7-3)右端的积分使用梯形求积分式计算,

$$\int_{t_n}^{t_{n+1}} f(t, u(t)) dt \approx \frac{h}{2} [f(t_n, u(t_n)) + f(t_{n+1}, u(t_{n+1}))]$$

则得

$$u(t_{n+1}) \approx u(t_n) +$$

$$\text{令 } u_{n+1} = u_n + \frac{h}{2} (f(t_n, u_n) + f(t_{n+1}, u_{n+1})) , n = 0, 1, 2, \dots, N \quad (6-5)$$

上式称为**梯形求解公式**, 简称**梯形法**.



梯形公式与Euler公式相比要精确的多，但是梯形公式的计算量要大一些。每步计算要解一个关于 u_{n+1} 的非线性方程，从而要用如下迭代公式：

$$u_{n+1}^{[k+1]} = u_n + \frac{h}{2} \left(f(t_n, u_n) + f(t_{n+1}, u_{n+1}^{[k]}) \right)$$

$$k=0, 1, 2, \dots$$

取初值为 $u_{n+1}^{[0]} = u_n$ ，反复迭代，即

$$u_{n+1}^{[\mathfrak{L}]} = u_n + \frac{h}{2} \left[f(t_n, u_n) + f(t_{n+1}, u_{n+1}^{[\mathfrak{L}]}) \right]$$



如此迭代下去得到迭代序列:

$$u_{n+1}^{[0]}, u_{n+1}^{[1]}, u_{n+1}^{[2]}, \dots, u_{n+1}^{[k]}, \dots$$

若序列 $\{u_{n+1}^{[k]}\}_{k=0}^{\infty}$ 收敛于 $u_{n+1}^{[*]}$, 当 $k \rightarrow \infty$ 时, 得到:

$$u_{n+1}^{[*]} = u_n + \frac{h}{2} (f(t_n, u_n) + f(t_{n+1}, u_{n+1}^{[*]}))$$

则取 $u_{n+1} = u_{n+1}^{[*]}$ 为第 $n+1$ 个近似值。

在实际计算中, 通常要求满足 $|u_{n+1}^{[k+1]} - u_{n+1}^{[k]}| < \varepsilon$ 为终止条件, 此时取 $u_{n+1}^{[k+1]}$ 作为 $u(t_{n+1})$ 的近似值 u_{n+1} 。



为了避免求解非线性代数方程，可以用Euler法将它显化，
建立预测——校正系统：

$$\left\{ \begin{array}{l} \bar{u}_{n+1} = u_n + hf(t_n, u_n) \\ u_{n+1} = u_n + \frac{h}{2} (f(t_n, u_n) + f(t_{n+1}, \bar{u}_{n+1})) \\ u(t_0) = u_0 \end{array} \right. \quad (6-6)$$

求解公式(6-6)称为改进的Euler法，其中 \bar{u}_{n+1} 称为预测值，
 u_{n+1} 称为校正值。其求解顺序为：

$$u_0 \rightarrow \bar{u}_1 \rightarrow u_1 \rightarrow \bar{u}_2 \rightarrow u_2 \rightarrow \cdots \rightarrow \bar{u}_N \rightarrow u_N$$



改进的Euler法还可写成如下形式:

$$u_{n+1} = u_n + \frac{h}{2} [f(t_n, u_n) + f(t_{n+1}, u_n + h f(t_n, u_n))] \quad (6-7)$$

如果 $f(t, u(t))$ 关于 u 是线性函数, 则隐式公式可以显式化。

例, 若方程为: $u'(t) = t \cdot u + 5$

后Euler公式: $u_{n+1} = u_n + h(t_{n+1}u_{n+1} + 5)$

$$u_{n+1} = \frac{u_n + 5h}{1 - t_{n+1}h}, \quad n = 0, 1, 2, \dots, N$$

梯形公式: $u_{n+1} = u_n + \frac{h}{2}(t_n u_n + t_{n+1} u_{n+1} + 10)$

$$u_{n+1} = \frac{1}{1 - \frac{h}{2}t_{n+1}} \left(\left(1 + \frac{h}{2}t_n \right) u_n + 5h \right) \quad n = 0, 1, 2, \dots, N$$



三、Milne公式

若在区间上，对(6-2)右端的使用 Simpson求积公式，得

$$\int_{t_n}^{t_{n+2}} f(t, u(t)) dt \approx \frac{t_{n+2} - t_n}{6} [f(t_{n+2}, u(t_{n+2})) + 4f(t_{n+1}, u(t_{n+1})) + f(t_n, u(t_n))]$$

$$\text{令} \quad u_{n+2} = u_n + \frac{2h}{6} [f(t_{n+2}, u_{n+2}) + 4f(t_{n+1}, u_{n+1}) + f(t_n, u_n)] \quad (6-8)$$

(6-8)可写成

$$u_{n+2} = u_n + \frac{h}{3} [f_{n+2} + 4f_{n+1} + f_n] \quad (6-9)$$

其中 $f_{n+2} = f(t_{n+2}, u_{n+2})$, $f_{n+1} = f(t_{n+1}, u_{n+1})$, $f_n = f(t_n, u_n)$

此为二步方法，需要已知 u_n 和 u_{n+1} ，才能由(6-9)计算出 u_{n+2} 的值。二步以上的方法也称为**多步法**。



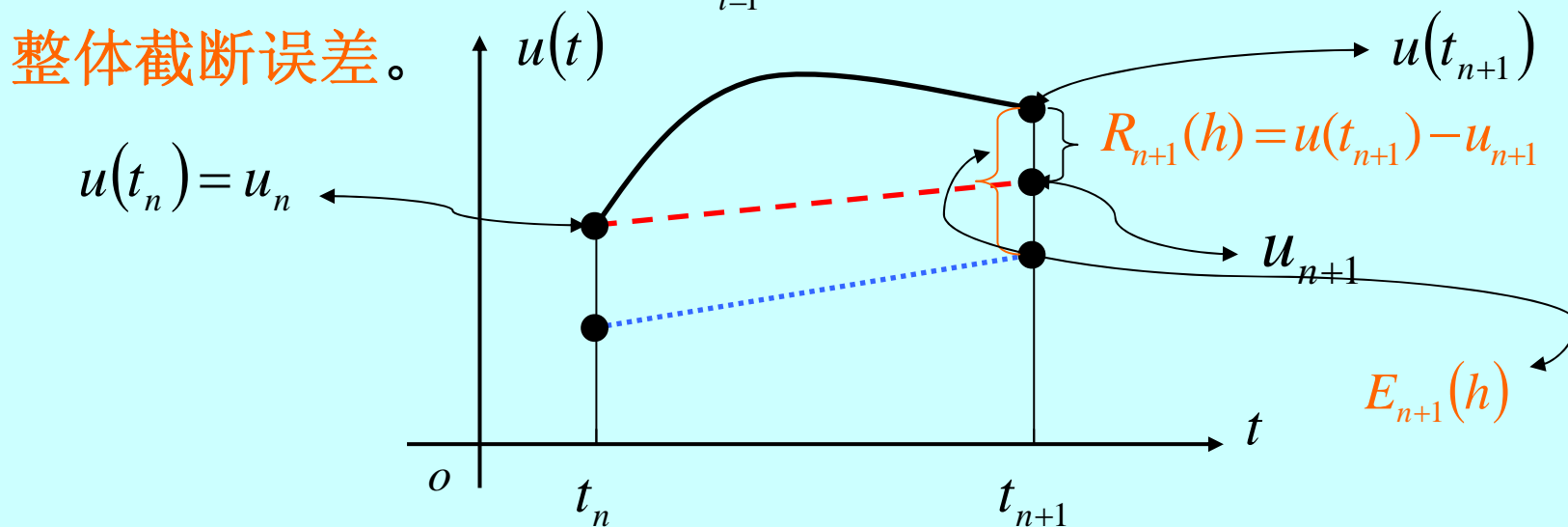
衡量求解公式好坏的一个主要标准是求解公式的精度。

定义 假设 $u_i = u(t_i)$, $i=0,1,2,\dots,n-1$, 则称

$$R_n(h) = u(t_n) - u_n$$

为求解公式第 n 步的**局部截断误差**。

定义 $E_n(h) = u(t_n) - u_n = \sum_{i=1}^n R_i(h)$ 为求解公式在 t_n 点上的





如果设某求解公式的局部截断误差： $R_n(h) = O(h^{p+1})$

则我们可以证明其整体截断误差为： $E_n(h) = O(h^p)$

这样我们就称该求解公式具有 p 阶精度。

事实上，若 $R_i(h) = O(h^{p+1})$, $i = 1, 2, \dots, n$ ，则

$$\begin{aligned} E_n(h) &= \sum_{i=1}^n R_i(h) = \sum_{i=1}^n O(h^{p+1}) = \sum_{i=1}^n h \cdot O(h^p) \\ &= h \cdot O(h^p) \cdot n = O(h^p) \cdot n \times \frac{T}{n} = O(h^p) \end{aligned}$$

求解公式的精度越高，计算解的精确性可能越好。通过简单的分析，可知Euler法具有一阶精度，梯形法具二阶精度。



下面利用**Taylor**展开，求**Euler**法的局部截断误差

$$\begin{aligned} R_n(h) &= u(t_n) - u_n = u(t_n) - [u_{n-1} + h f(t_{n-1}, u_{n-1})] \\ &= u(t_n) - [u(t_{n-1}) + h f(t_{n-1}, u(t_{n-1}))] \\ &= u(t_n) - [u(t_{n-1}) + h u'(t_{n-1})] \\ &= u(t_{n-1}) + h u'(t_{n-1}) + \frac{h^2}{2!} u''(t_{n-1}) + O(h^3) \\ &\quad - u(t_{n-1}) - h u'(t_{n-1}) \\ &= \frac{h^2}{2!} u''(t_{n-1}) + O(h^3) = O(h^3) \end{aligned}$$

下面重点介绍微分方程的基于函数Taylor展开式的数值解法。在前面，我们已经介绍了基于数值积分的特殊的单步法与多步法。

显式单步法Euler公式：
$$u_{n+1} = u_n + hf(t_n, u_n)$$

线性二步法公式：
$$u_{n+2} = u_n + \frac{h}{3}(f_{n+2} + 4f_{n+1} + f_n)$$

单步法一般可写成：

$$u_{n+1} = u_n + h\varphi(t_n, u_n, t_{n+1}, u_{n+1}; h) \quad n = 0, 1, 2, \dots, N-1 \quad (7-3)$$

其中 φ 是依赖于(7-1)右端的函数 $f(t, u)$ 。

当取 $\varphi=f(t_n, u_n)$ 时，为Euler法；

当取 $\varphi=f(t_{n+1}, u_{n+1})$ 时，为后Euler法；

当取 $\varphi = \frac{h}{2}[f(t_n, u_n) + f(t_{n+1}, u_{n+1})]$ 时，为梯形法。



DUT

大连理工大学

DALIAN UNIVERSITY OF TECHNOLOGY

通过 (7-3) 计算结点 $t_n = t_0 + nh$, $n=0, 1, 2, \dots$ 的近似值 u_n , 每次只用到前一结点的值 u_{n-1} , 所以从初值 u_0 出发可逐步算出以后各结点的值 u_1, u_2, \dots , 故称为**单步法**。



线性多步法，它的一般公式为：

$$\sum_{j=0}^k \alpha_j u_{n+j} = h \sum_{j=0}^k \beta_j f_{n+j}, \quad \alpha_k \neq 0 \quad (7-4)$$

其中 $f_{n+j} = f(t_{n+j}, u_{n+j})$, α_j, β_j 是常数, α_0 和 β_0 不同时为0。

按 (7-4) 计算 u_{n+k} 时要用到前面 k 个结点值 $u_n, u_{n+1}, \dots, u_{n+k-1}$,

因此称 (7-4) 为多步法 或 k -步法。

又因为 (7-4) 关于 u_{n+j}, f_{n+j} 是线性的, 所以称为线性多步法。

为使多步法的计算能够进行, 除给定的初值 u_0 外, 还要知道附加初值 u_1, u_2, \dots, u_{k-1} , 这可用其它方法计算。若 $\beta_k = 0$ 则称 (7-4) 是显式的; 若 $\beta_k \neq 0$, 则方法 (7-4) 是隐式的。



DUT

大连理工大学

DALIAN UNIVERSITY OF TECHNOLOGY

例如，对于线性二步法：

$$\alpha_2 u_{n+2} + \alpha_1 u_{n+1} + \alpha_0 u_n = h(\beta_2 f_{n+2} + \beta_1 f_{n+1} + \beta_0 f_n)$$

当取

$$\alpha_0 = -1, \alpha_1 = 0, \alpha_2 = 1, \beta_0 = \beta_1 = \frac{1}{3}, \beta_2 = \frac{4}{3},$$

时，就是**Miline**法。

$$u_{n+2} = u_n + \frac{h}{3}(f_{n+2} + 4f_{n+1} + f_n)$$



DUT

大连理工大学

DALIAN UNIVERSITY OF TECHNOLOGY

7.2 基于Taylor展开式的求解公式

用数值积分法只能构造一类特殊的多步法，本节我们将基于Taylor展开式来构造出更一般的求解公式。

7.2.1 基于Taylor展开式的求解公式

7.2.2 四阶显式Runge-Kutta法

初值问题 (7-1) , (7-2) 的解充分光滑, 将 $u(t)$ 在 t_0 处用**Taylor**公式展开:

$$u(t) = u(t_0) + hu'(t_0) + \frac{h^2}{2!} u''(t_0) + \cdots + \frac{h^p}{p!} u^{(p)}(t_0) + O(h^{p+1}) \quad (7-5)$$

其中

$$u(t_0) = u_0,$$

$$u'(t_0) = f(t_0, u(t_0)) = f(t_0, u_0),$$

$$u''(t_0) = \left. \frac{df}{dt} \right|_{t=t_0} = f_t(t_0, u_0) + f(t_0, u_0) f_u(t_0, u_0)$$

$$\begin{aligned} u^{(3)}(t_0) = \frac{d}{dt} \left[\frac{df}{dt} \right] \Big|_{t=t_0} &= f_{tt}(t_0, u_0) + 2f(t_0, u_0) f_{tu}(t_0, u_0) + f^2(t_0, u_0) f_{uu}(t_0, u_0) \\ &\quad + f_t(t_0, u_0) f_u(t_0, u_0) + f(t_0, u_0) (f_u(t_0, u_0))^2 \end{aligned}$$

... ..

(7-6)

$$\text{令} \quad \varphi(t, u(t); h) = \sum_{j=1}^p \frac{h^{j-1}}{j!} \frac{d^{j-1}}{dt^{j-1}} f(t, u(t)) \quad (7-7)$$

则可将 (7-5) 改写成为

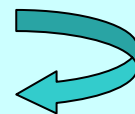
$$u(t_0 + h) - u(t_0) = h\varphi(t_0, u(t_0); h) + O(h^{p+1})$$

舍去余项 $O(h^{p+1})$ ，则得 $u_1 - u_0 = h\varphi(t_0, u_0; h)$ 。

一般而言，若已知 u_n ，则

$$u_{n+1} = u_n + h\varphi(t_n, u_n; h) \quad n = 0, 1, 2, \dots,$$

这是一个单步法，局部截断误差为 $O(h^{p+1})$ ，由 (7-6) (7-7)，可知 φ 关于 f 非线性。当 $p=1$ 时，它是 Euler 法。由于计算 $\varphi(t_n, u_n; h)$ 的工作量太大，一般不直接用 Taylor 展开法做数值计算，但可用它计算附加值。



2. 待定系数法

$$\text{令 } L_k[u(t); h] = \sum_{j=0}^k [\alpha_j u(t + jh) - h\beta_j u'(t + jh)] \quad (7-8)$$

设 $u(t)$ 是初值问题 (7-1) , (7-2) 的解, 将 $u(t+jh)$ 和 $u'(t+jh)$ 在点 t 处进行Taylor展开,

$$u(t+jh) = \sum_{l=0}^{\infty} \frac{(jh)^l}{l!} u^{(l)}(t) = u(t) + \frac{jh}{1!} u'(t) + \frac{(jh)^2}{2!} u''(t) + \frac{(jh)^3}{3!} u^{(3)}(t) + \dots$$
$$u'(t+jh) = \sum_{l=1}^{\infty} \frac{(jh)^{l-1}}{(l-1)!} u^{(l)}(t) = u'(t) + \frac{jh}{1!} u''(t) + \frac{(jh)^2}{2!} u^{(3)}(t) + \frac{(jh)^3}{3!} u^{(4)}(t) + \dots$$

将上式代入 (7-8) 式, 并按 h 的同次幂合并同类项, 得

$$L_k[u(t); h] = \sum_{j=0}^k \left[\alpha_j \sum_{l=0}^{\infty} \frac{(jh)^l}{l!} u^{(l)}(t) - h\beta_j \sum_{l=1}^{\infty} \frac{(jh)^{l-1}}{(l-1)!} u^{(l)}(t) \right]$$
$$= \left(\sum_{j=0}^k \alpha_j \right) u(t) + \sum_{l=1}^{\infty} \left(\frac{1}{l!} \sum_{j=0}^k j^l \alpha_j - \frac{1}{(l-1)!} \sum_{j=0}^k j^{l-1} \beta_j \right) u^{(l)}(t) h^l$$

$$\text{即 } L_k[u(t); h] = c_0 u(t) + c_1 h u'(t) + c_2 h^2 u''(t) + \cdots + c_p h^p u^{(p)}(t) + \cdots,$$

$$\text{其中 } \begin{cases} c_0 = \alpha_0 + \alpha_1 + \cdots + \alpha_k \\ c_1 = \alpha_1 + 2\alpha_2 + \cdots + k\alpha_k - (\beta_0 + \beta_1 + \cdots + \beta_k) \\ \cdots \quad \cdots \quad \cdots \\ c_p = \frac{1}{p!}(\alpha_1 + 2^p \alpha_2 + \cdots + k^p \alpha_k) - \frac{1}{(p-1)!}(\beta_1 + 2^{p-1} \beta_2 + \cdots + k^{p-1} \beta_k) \\ p = 2, 3, \cdots \end{cases} \quad (7-9)$$

若 $u(t)$ 有 $p+2$ 次连续微商，则可选取适当 k 和 α_j, β_j 使 $c_0 = c_1 = c_2 = \cdots = c_p = 0$ ，而 $c_{p+1} \neq 0$ ，即选 α_j 和 β_j 满足：

$$\begin{cases} \alpha_0 + \alpha_1 + \cdots + \alpha_k = 0 \\ \alpha_1 + 2\alpha_2 + \cdots + k\alpha_k - (\beta_0 + \beta_1 + \cdots + \beta_k) = 0 \\ \cdots \quad \cdots \quad \cdots \\ \frac{1}{p!}(\alpha_1 + 2^p \alpha_2 + \cdots + k^p \alpha_k) - \frac{1}{(p-1)!}(\beta_1 + 2^{p-1} \beta_2 + \cdots + k^{p-1} \beta_k) = 0 \\ p = 2, 3, \cdots \end{cases}$$

此时 $L_k[u(t);h]=c_{p+1}h^{p+1}u^{(p+1)}(t)+O(h^{p+2})$

而 $u'(t)=f(t,u(t))$, 则

$$\sum_{j=0}^k [\alpha_j u(t_n + jh) - h\beta_j f(t_n + jh, u(t_n + jh))] = R_n$$

$$R_n = c_{p+1}h^{p+1}u^{(p+1)}(t_n) + O(h^{p+2})$$

舍去余项 R_n , 并 u_{n+j} 代替 $u(t_n+jh)$, 用 f_{n+j} 记 $f(t_{n+j}, u_{n+j})$, 就得到线性多步法 (7-4), 其局部截断误差:

$$R_{n+k} = L_k[u(t);h] = c_{p+1}h^{p+1}u^{(p+1)}(t) + O(h^{p+2})$$

$c_{p+1}h^{p+1}u^{(p+1)}(t)$ 称为局部截断误差主项;

c_{p+1} 称为局部截断误差主项系数。

可以证明其整体截断误差 $En=O(h^p)$, 故称为 p 阶 k 步法。



因为 (7-4) 可以相差一个非零常数, 所以不妨设 $\alpha_k=1$ 。
当 $\beta_k=0$ 时, u_{n+k} 可用 u_{n+k-1}, \dots, u_n 直接表示, 故称为显式法。

反之, 当 $\beta_k \neq 0$ 时, 求 u_{n+k} 需解一个方程 (一般用迭代法), 称为隐式法。

用待定函数法构造多步法的一个基本要求是选取 α_j, β_j 使局部截断误差的阶尽可能高。

下面我们讨论构造一般线性二步法公式的待定系数法。
此时

$k=2, \alpha_2=1$ 。记 $\alpha_0=\alpha$, 其余四个系数 $\alpha_1, \beta_0, \beta_1, \beta_2$, 由 $c_0=c_1=c_2=c_3=0$ 确定, 即满足方程:



$$\begin{cases} c_0 = \alpha_0 + \alpha_1 + 1 = 0 \\ c_1 = \alpha_1 + 2 - (\beta_0 + \beta_1 + \beta_2) = 0 \\ c_3 = \frac{1}{6}(\alpha_1 + 8) - \frac{1}{2}(\beta_1 + 4\beta_2) = 0 \\ c_2 = \frac{1}{2}(\alpha_1 + 4) - (\beta_1 + 2\beta_2) = 0 \end{cases}$$

解之得

$$\begin{aligned} \alpha_1 &= -(1 + \alpha), & \beta_0 &= -\frac{1}{12}(1 + 5\alpha), \\ \beta_1 &= \frac{2}{3}(1 - \alpha), & \beta_2 &= \frac{1}{12}(5 + \alpha), \end{aligned}$$

所以一般二步法为

$$u_{n+2} - (1 + \alpha)u_{n+1} + \alpha u_n = \frac{h}{12}[(5 + \alpha)f_{n+2} + 8(1 - \alpha)f_{n+1} - (1 + 5\alpha)f_n] \\ (7-10)$$

由 (7-9) 知道:

$$c_4 = \frac{1}{24}(\alpha_1 + 16) - \frac{1}{6}(\beta_1 + 8\beta_2) = -\frac{1}{24}(1 + \alpha),$$

$$c_5 = \frac{1}{120}(\alpha_1 + 32) - \frac{1}{24}(\beta_1 + 16\beta_2) = -\frac{1}{360}(17 + 13\alpha),$$

当 $\alpha \neq 1$ 时 $c_4 \neq 0$, 方法 (7-10) 是三阶二步法。

当 $\alpha = -1$ 时 $c_4 = 0$, 但 $c_5 \neq 0$, 方法 (7-10) 化为:

$$u_{n+2} = u_n + \frac{h}{3}(f_{n+2} + 4f_{n+1} + f_n) \quad (7-11)$$

这是四阶二步法, 是具有最高阶的二步法, 称为**Milne**方法。

此外, 若取 $\alpha = 0$, 则 (7-10) 为:

$$u_{n+2} = u_{n+1} + \frac{h}{12}(5f_{n+2} + 8f_{n+1} - f_n) \quad (7-12)$$

此为二步隐式Adams方法；若取 $\alpha=-5$ ，则（7-10）为：

$$u_{n+2} + 4u_{n+1} - 5u_n = 2h(2f_{n+1} + f_n)$$

是显式方法。

用类似的计算过程可获得一些常用的线性多步法的局部截断误差。

当 $k=1$ 时，梯形法（二阶隐式方法）：

$$u_{n+1} = u_n + \frac{h}{2}(f_{n+1} + f_n) \quad (7-13)$$

其中 $\alpha_1=1, \alpha_0=-1, \beta_1=\beta_0=\frac{1}{2}$ ，从而有， $c_0=1-1=0$ ，

$$c_1 = 1 - \left(\frac{1}{2} + \frac{1}{2}\right) = 0, \quad c_2 = \left(\frac{1}{2} - \frac{1}{2}\right) = 0, \quad c_3 = \frac{1}{3!} - \left(\frac{1}{2} \times \frac{1}{2}\right) = -\frac{1}{12} \neq 0,$$

其局部截断误差为 $R_{n+1}(h) = -\frac{1}{12}h^3u^{(3)}(t_n) + O(h^4)$ 。

向后**Euler**法（一阶隐式方法）

$$u_{n+1} = u_n + hf_{n+1} \quad (7-14)$$

其中 $\alpha_1=1$, $\alpha_0=-1$, $\beta_1=1$, $\beta_0=0$, 从而有,

$$c_0=1-1=0, \quad c_1=1-1=0, \quad c_2=\left(\frac{1}{2}-1\right)=-\frac{1}{2} \neq 0。$$

其局部截断误差为： $R_{n+1}(h) = -\frac{1}{2}h^2u^{(2)}(t_n) + O(h^3)$ 。

当 $k=3$ 时，三步三阶显式**Adams**方法：

$$u_{n+3} = u_{n+2} + \frac{h}{12}(23f_{n+2} - 16f_{n+1} + 5f_n) \quad (7-15)$$

其中

$$\alpha_3=1, \alpha_2=-1, \alpha_1=0, \alpha_0=0, \beta_3=0, \beta_2=\frac{23}{12}, \beta_1=-\frac{16}{12}, \beta_0=\frac{5}{12}$$



从而有，

$$c_0 = 1 - 1 = 0, \quad c_1 = 2 + 3 - \left(-\frac{5}{12} - \frac{16}{12} + \frac{23}{12} \right) = -2 + 3 - 1 = 0,$$

$$c_2 = \frac{1}{2}(-4 + 9) - \left(-\frac{16}{12} + \frac{23}{12} \times 2 \right) = \frac{5}{2} - \frac{30}{12} = 0,$$

$$c_3 = \frac{1}{3!}(-8 + 27) - \frac{1}{2} \left(-\frac{16}{12} + \frac{23}{12} \times 4 \right) = \frac{19}{6} - \frac{1}{24}(23 \times 4 - 16) = \frac{9}{10} - \frac{9}{10} = 0,$$

$$c_4 = \frac{1}{4!}(-16 + 3^4) - \frac{1}{3!} \left(-\frac{16}{12} + \frac{23 + 8}{12} \right) = \frac{9}{4!} = \frac{3}{8} \neq 0。$$

其局部截断误差为：

$$R_{n+3}(h) = \frac{3}{8} h^4 u^{(4)}(t_n) + O(h^5)。$$

三步四阶隐式Adams方法:

$$u_{n+3} = u_{n+2} + \frac{h}{24}(9f_{n+3} + 19f_{n+2} - 5f_{n+1} + f_n) \quad (7-16)$$

其局部截断误差为: $R_{n+3}(h) = -\frac{19}{720}h^5 u^{(5)}(t_n) + O(h^6)$ 。

三步四阶Hamming方法:

$$u_{n+3} = \frac{1}{8}(9u_{n+2} - u_n) + \frac{3h}{8}(f_{n+3} + 2f_{n+2} - f_{n+1}) \quad (7-17)$$

其局部截断误差为: $R_{n+3}(h) = -\frac{1}{40}h^5 u^{(5)}(t_n) + O(h^6)$ 。

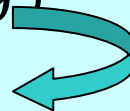
四步四阶显式Adams方法:

$$u_{n+4} = u_{n+3} + \frac{h}{24}(55f_{n+3} - 59f_{n+2} + 37f_{n+1} - 9f_n) \quad (7-18)$$

其局部截断误差为: $R_{n+4}(h) = \frac{251}{720}h^5 u^{(5)}(t_n) + O(h^6)$

四步四阶显式Milne方法: $u_{n+4} = u_n + \frac{4h}{3}(2f_{n+3} - f_{n+2} - 2f_{n+1})$

其局部截断误差为: $R_{n+4}(h) = \frac{8}{15}h^5 u^{(5)}(t_n) + O(h^6) \quad (7-19)$





7.2.2 四阶显式Runge-Kutta法

Euler是最简单的单步法。单步法不需要附加初值，所需的存储量小，改变步长灵活，但线性单步法的阶最高为2，**Taylor**展开法，用在同一点 (t_n, u_n) 的高阶导数表示 $\varphi(t, u(t), h)$ ，这不利于计算。

通过观察我们发现显式**Euler**法和隐**Euler**法各用到了 $u(t)$ 在 $[t, t+h]$ 上的一个一阶导数值，它们都是一阶方法。梯形法和改进的**Euler**法用到了 $u(t)$ 在 $[t, t+h]$ 上的两个一阶导数值，它们都是二阶方法。而**Runge-Kutta**型方法是用 $u(t)$ 在 $[t, t+h]$ 上的 f 在一些点的值非线性表示 $f(t, u(t), h)$ ，使单步法的局部截断误差的阶和**Taylor**展开法相等。

Runge-Kutta方法是求解初值问题 (3.1) 的一类重要的经典算法，显式Runge-Kutta方法的绝对稳定区域是有限区。不适用于求解刚性方程，1964年Butcher首先提出了隐式的**Runge-Kutta**法，可用于求解刚性方程。

Runge-Kutta方法的一般结构

$$u_{n+1} = u_n + h \sum_{i=1}^m c_i k_i$$

$$k_i = f(t + ha_i, u_n + h \sum_{j=1}^m b_{ij} k_j) \quad i = 1, \dots, m,$$

其中 $t_n = t_0 + nh$, ($n = 0, 1, \dots$), h 为积分步长, u_n 为 $u(t_n)$ 的近似值, $B = (b_{ij})$ ($i, j = 1, \dots, m$)称为**Runge-Kutta**矩阵, 其中在上面公式中未出现的元素定义为零, 而 $a = (a_1, a_2, \dots, a_m)^T$ 和 $c = (c_1, c_2, \dots, c_m)^T$ 分别称为**Runge-Kutta**节点和**Runge-Kutta**权。且这些系数要满足以下条件:

$$c_i \geq 0, \quad \sum_{i=1}^m c_i = 1, \quad \sum_{j=1}^m b_{ij} = a_i, \quad i = 1, 2, \dots, m$$

通常可将这些系数排列成以下形式，成为**Butcher**数表示法：

$$\begin{array}{c|c} \mathbf{a} & \mathbf{B} \\ \hline & \mathbf{c}^T \end{array} \quad \begin{array}{c|ccc} a_1 & b_{11} & \cdots & b_{1m} \\ \vdots & \vdots & \ddots & \vdots \\ a_m & b_{m1} & \cdots & b_{mm} \\ \hline & c_1 & \cdots & c_m \end{array}$$

在公式中要用到 m 个 $f(t, u)$ 的值，故称为 m 级**Runge-Kutta**法。

如果 $j \geq i$ 时， $b_{ij} = 0$ ，即为严格下三角矩阵，就是显式Runge-Kutta方法，此时 $k_1 = f(t_n, u_n)$ ，则由计算公式可逐个递推出 k_2, \dots, k_m

如果 $j > i$ 时， $b_{ij} = 0$ ，而对角元素 b_{ii} 不全为零，这时公式称为半隐式Runge-Kutta方法，这时 k_i 可表示为：



DUT

大连理工大学

DALIAN UNIVERSITY OF TECHNOLOGY

$$k_i = f(t + ha_i, u_n + h \sum_{j=1}^{m-1} b_{ij} k_j + hb_{ii} k_i) \quad i = 1, \dots, m,$$

这是关于 k_i 的非线性方程式，因此每一步要解 m 个非线性方程式，若 b_{ii} 均相等，则成为对角隐式**Runge-Kutta**方法简称DIRK方法，此时由上式求 k_i 的系数矩阵相同，故每步只求一个非线性方程式的解。

一般隐式**Runge-Kutta**方法的右端包含全部 k_1, k_2, \dots, k_m ，故求 k_1, k_2, \dots, k_m 需要解一个 $m \times m$ 阶的非线性方程组。

为得到**Runge-Kutta**公式需要确定公式的系数 a, B, c 。

下面我们用Taylor展开思想来构造高阶显式**Runge-Kutta**公式。



假设三组系数和已给定，则求解 (7-1) , (7-2) 的一般显式**Runge-Kutta**法的计算过程如下：

$$u_{n+1} = u_n + h\phi(t_n, u_n, h), \quad n = 0, 1, \dots \quad (7-20)$$

其中

$$\phi(t, u(t), h) = \sum_{i=1}^m c_i k_i \quad (7-21)$$

$$(7-22) \quad \left\{ \begin{array}{l} k_1 = f(t, u), \\ k_2 = f(t + ha_2, u(t) + hb_{21}k_1), \quad b_{21} = a_2, \\ k_3 = f(t + ha_3, u(t) + h(b_{31}k_1 + b_{32}k_2)), \quad b_{31} + b_{32} = a_3, \\ \quad \dots \quad \dots \\ k_m = f(t + ha_m, u(t) + h\sum_{j=1}^{m-1} b_{mj}k_j), \quad \sum_{j=1}^{m-1} b_{mj} = a_m \end{array} \right.$$

先引进若干记号, 首先 $[t, t+h]$ 取上的 m 个点:

$$t_1 = t \leq t_2 \leq t_3 \leq \cdots \leq t_m \leq t + h,$$

令 $t_i = t + a_i h = t_1 + a_i h$, $i = 2, \cdots, m$, 此时 $\mathbf{a} = (0, a_2, \cdots, a_m)^T$,

\mathbf{B} 为严格三角矩阵。

$$\mathbf{B} = \begin{pmatrix} b_{21} & & & \\ b_{31} & b_{32} & & \\ \cdots & \cdots & \cdots & \\ b_{m1} & b_{m2} & \cdots & b_{mm-1} \end{pmatrix}$$

其中 \mathbf{a}, \mathbf{B} 与 h 无关, $\sum_{j=1}^{i-1} b_{ij} = a_i$, $i = 2, \cdots, m$, $c_i \geq 0$, $\sum_{i=1}^m c_i = 1$

系数 $\{a_i\}$, $\{b_{ij}\}$ 和 $\{c_i\}$ 将按如下原则确定:

假定 $u(t_n) = u_n$, 由显式Runge-Kutta公式得到的数值解 u_{n+1} 与方的精确解 $u(t_{n+1})$ 之差, 如果有

$$u(t_{n+1}) - u_{n+1} = O(h^{p+1})$$

将 $u(t_{n+1})$ 在 t_n 处**Taylor**展开, 再将 k_i 关于 h 展开, 代入到 (7-21) 式中, 使 $h^l (l=0, 1, \cdots, p-1)$ 的系数和(7-7)式同次幂的系数相等。

如此得到的算法 (7-20) 称为 **m 级 p 阶Runge-Kutta法**。

现在推导一些常用的计算方案, 特别地, 给出 $m=3$ 显式Runge-Kutta法的推导。

首先将 $u(t+h)$ 在 t 处展开到 h 的三次幂, 即:

$$u(t+h) = u(t) + \sum_{l=1}^3 \frac{h^l}{l!} u^{(l)}(t) + O(h^4) = u(t) + h\tilde{\varphi}(t, u(t), h), \quad (7-23)$$

其中

$$\begin{cases} \tilde{\varphi}(t, u, h) = f + \frac{1}{2}h\tilde{f} + \frac{1}{6}h^2(\tilde{f}f_u + \hat{f}) + O(h^3) \\ \tilde{f} = f_t + ff_u \\ \hat{f} = f_{tt} + 2ff_{tu} + f^2f_{uu} \end{cases} \quad (7-24)$$

其次，由二元函数 f 在点 $(t, u(t))$ 处的**Taylor**展开式可得：

$$k_1 = f(t, u(t)) = f,$$

$$\begin{aligned} k_2 &= f(t + ha_2, u + ha_2 k_1) \\ &= f + ha_2(f_t + k_1 f_u) + \frac{1}{2}h^2 a_2^2 (f_{tt} + 2k_1 f_{tu} + k_1^2 f_{uu}) + O(h^3) \\ &= f + ha_2 \tilde{f} + \frac{1}{2}h^2 a_2^2 \hat{f} + O(h^3) \end{aligned}$$

$$k_3 = f + ha_3 \tilde{f} + h^2 (a_2 b_{32} f_u \tilde{f} + \frac{1}{2} a_3^2 \hat{f}) + O(h^3)$$

于是，代入（7-21）中，即

$$\begin{aligned} \phi(t, u, h) &= \sum_{i=1}^3 c_i k_i = (c_1 k_1 + c_2 k_2 + c_3 k_3) \\ &= c_1 f + c_2 \left(f + ha_2 (f_t + k_1 f_u) + \frac{1}{2} a_2^2 \hat{f} h^2 \right) \\ &\quad + c_3 \left(f + a_3 \tilde{f} h + \left(a_2 b_{32} f_u \tilde{f} + \frac{1}{2} a_3^2 \hat{f} \right) h^2 \right) + O(h^3) \end{aligned}$$



并合并 $h^l (l=0, 1, 2)$ 的

$$\begin{aligned}\phi(t, u, h) = & \sum_{i=1}^3 c_i k_i = (c_1 + c_2 + c_3)f + h(a_2 c_2 + a_3 c_3)\tilde{f} + \\ & + \frac{1}{2}h^2 \left[2a_2 b_{32} c_3 f_u \tilde{f} + (a_2^2 c_2 + a_3^2 c_3)\hat{f} \right] + O(h^3) \quad (7-25)\end{aligned}$$

由已知

$$\begin{aligned}\tilde{\varphi}(t, u, h) = & u'(t) + u''(t)\frac{1}{2}h + u^{(3)}(t)\frac{1}{6}h^2 \\ = & f + \frac{1}{2}h\tilde{f} + \frac{1}{6}h^2(\tilde{f}f_u + \hat{f}) + O(h^3)\end{aligned}$$

其中 $\tilde{f} = f_t + ff_u$, $\hat{f} = f_{tt} + 2ff_{tu} + f^2 f_{uu}$ 。

比较 $\phi(t,u,h)$ 和 $\tilde{\phi}(t,u,h)$ 的同次幂系数，可得以下具体方案：

(一) $m=1$ 此时 $c_1=c_2=0$, $\phi(t,u,h)=c_1f$, 比较 h 的零次幂，知

$$\phi(t,u,h) = f,$$

方法 (7-21) 为一级一阶**Runge-Kutta**法，实际上为Euler法。

(二) $m=2$, 此时 $c_3=0$

$$\phi(t,u,h) = (c_1 + c_2)f + ha_2c_2\tilde{f} + \frac{1}{2}h^2a_2^2c_2\hat{f} + O(h^3)$$

与 $\tilde{\phi}(t,u,h)$ 比较 $1, h$ 的系数，则

$$c_1 + c_2 = 1 \quad a_2c_2 = \frac{1}{2}$$

它有无穷多组解，从而有无穷多个二级二阶方法。

三个常见的方法是：



(1) $c_1 = 0, c_2 = 1, a_2 = \frac{1}{2}$, 此时

$$\begin{cases} u_{n+1} = u_n + hk_2, \\ k_1 = f(t_n, u_n), \\ k_2 = f\left(t_n + \frac{1}{2}h, u_n + \frac{1}{2}hk_1\right) \end{cases} \quad (7-27)$$

称为中点法。

其Butcher表为:

0			
$\frac{1}{2}$		$\frac{1}{2}$	
		<hr/>	
		0	1



(2) $c_1 = c_2 = \frac{1}{2}$, $a_2 = 1$, 此时

$$\begin{cases} u_{n+1} = u_n + \frac{h}{2}(k_1 + k_2), \\ k_1 = f(t_n, u_n), \\ k_2 = f(t_n + h, u_n + hk_1) \end{cases} \quad (7-27)$$

称为改进的Euler法。

其Butcher表为

0		
1	1	
<hr/>		
	$\frac{1}{2}$	$\frac{1}{2}$



$$(3) \quad c_1 = \frac{1}{4}, \quad c_2 = \frac{3}{4}, \quad a_2 = \frac{2}{3}, \quad \text{此时}$$

$$\left\{ \begin{array}{l} u_{n+1} = u_n + \frac{h}{4}(k_1 + 3k_2), \\ k_1 = f(t_n, u_n), \\ k_2 = f\left(t_n + \frac{2}{3}h, u_n + \frac{2}{3}hk_1\right) \end{array} \right.$$

其Butcher表为:

0			
$\frac{2}{3}$		1	
		<hr/>	
		$\frac{1}{4}$	$\frac{3}{4}$



(三) $m=2$ 比较 (7-24) 和 (7-25), 令 $1, h, h^2$ 的系数相等, 并注意 \tilde{f}, \hat{f} 的任意性, 得

$$\begin{aligned} c_1 + c_2 + c_3 &= 1, & a_2 c_2 + a_3 c_3 &= \frac{1}{2} \\ a_2^2 c_2 + a_3^2 c_3 &= \frac{1}{3}, & a_2 b_{32} c_3 &= \frac{1}{6}. \end{aligned}$$

四个方程不能完全确定六个系数, 因此这是含两个参数的三级三阶方法类。 常见方案有:

(1) Heun三阶方法。 此时取

$$c_1 = \frac{1}{4}, \quad c_2 = 0, \quad c_3 = \frac{3}{4}, \quad a_2 = \frac{1}{3}, \quad a_3 = \frac{2}{3}, \quad b_{32} = \frac{2}{3}.$$

$$\left\{ \begin{array}{l} u_{n+1} = u_n + \frac{h}{4}(k_1 + 3k_3), \\ k_1 = f(t_n, u_n), \\ k_2 = f\left(t_n + \frac{1}{3}h, u_n + \frac{1}{3}hk_1\right) \\ k_3 = f\left(t_n + \frac{2}{3}h, u_n + \frac{2}{3}hk_2\right) \end{array} \right. \quad (7-28)$$

Butcher表为:

0		
$\frac{1}{3}$	$\frac{1}{3}$	
$\frac{2}{3}$	0	$\frac{2}{3}$
<hr/>		
	$\frac{1}{4}$	$\frac{3}{4}$

(2) Kutta三阶方法, 此时

$$c_1 = \frac{1}{6}, c_2 = \frac{2}{3}, c_3 = \frac{1}{6}, a_2 = \frac{1}{2}, a_3 = 1, b_{32} = 2。$$

方法为:

$$\left\{ \begin{array}{l} u_{n+1} = u_n + \frac{1}{6}h(k_1 + 4k_2 + k_3), \\ k_1 = f(t_n, u_n), \\ k_2 = f(t_n + \frac{1}{2}h, u_n + \frac{1}{2}hk_1), \\ k_3 = f(t_n + h, u_n - hk_1 + 2hk_2). \end{array} \right. \quad (7-29)$$

Butcher表为:

0		
$\frac{1}{3}$	$\frac{1}{3}$	
$\frac{2}{3}$	0	$\frac{2}{3}$
$\frac{1}{3}$		
<hr/>		
	$\frac{1}{4}$	0
		$\frac{3}{4}$

(3) **Nystrom**三阶方法， 此时

$$c_1 = \frac{1}{4}, c_2 = \frac{3}{8}, c_3 = \frac{3}{8}, a_2 = \frac{2}{3}, a_3 = \frac{2}{3}, b_{32} = \frac{2}{3}。$$

方法为：

$$\left\{ \begin{array}{l} u_{n+1} = u_n + \frac{h}{4} \left(k_1 + \frac{3}{2}k_2 + \frac{3}{2}k_3 \right), \\ k_1 = f(t_n, u_n), \\ k_2 = f\left(t_n + \frac{2}{3}h, u_n + \frac{2}{3}hk_1\right), \\ k_3 = f\left(t_n + \frac{2}{3}h, u_n + \frac{2}{3}hk_2\right)。 \end{array} \right. \quad (7-29)$$

Butcher表为：

0		
$\frac{1}{3}$	$\frac{1}{3}$	
$\frac{2}{3}$	0	$\frac{2}{3}$
$\frac{3}{3}$		
	$\frac{1}{4}$	0
		$\frac{3}{4}$

(四) $m=4$ 将 (7-24) 和 (7-25) 展开到 h^3 , 比较 $h^i (i=0,1,2,3)$ 的系数, 则含13个待定系数的11个方程, 由此得到含两个参数的四级四阶Runge-Kutta方法类, 其中最常用的有以下两个方法:

经典四阶Runge-Kutta方法:

$$\left\{ \begin{array}{l} u_{n+1} = u_n + \frac{h}{6}(k_1 + 2k_2 + 2k_3 + k_4), \\ k_1 = f(t_n, u_n), \\ k_2 = f\left(t_n + \frac{1}{2}h, u_n + \frac{1}{2}hk_1\right), \\ k_3 = f\left(t_n + \frac{1}{2}h, u_n + \frac{1}{2}hk_2\right), \\ k_4 = f(t_n + h, u_n + hk_3). \end{array} \right. \left\{ \begin{array}{l} u_{n+1} = u_n + \frac{h}{8}(k_1 + 3k_2 + 3k_3 + k_4), \\ k_1 = f(t_n, u_n), \\ k_2 = f\left(t_n + \frac{1}{3}h, u_n + \frac{1}{3}hk_1\right), \\ k_3 = f\left(t_n + \frac{2}{3}h, u_n - \frac{1}{3}hk_1 + hk_2\right), \\ k_4 = f(t_n + h, u_n + hk_3). \end{array} \right.$$

(7-30)

Butcher表分别为：

0	1			
$\frac{1}{2}$	$\frac{1}{2}$			
$\frac{1}{2}$	0	$\frac{1}{2}$		
$\frac{1}{2}$	0	$\frac{1}{2}$	1	
1	0	0	1	
<hr/>				
	$\frac{1}{6}$	$\frac{1}{3}$	$\frac{1}{3}$	$\frac{1}{6}$

0	$\frac{1}{3}$			
$\frac{1}{3}$	$\frac{1}{3}$			
$\frac{2}{3}$	$-\frac{1}{3}$	1		
$\frac{2}{3}$	$-\frac{1}{3}$			
1	0	0	1	
<hr/>				
	$\frac{1}{8}$	$\frac{3}{8}$	$\frac{3}{8}$	$\frac{1}{8}$

以上讨论的是 m 级**Runge-Kutta**法在 $m=1, 2, 3, 4$ 时，可分别得到最高阶一、二、三、四阶，但是，通常 m 级Runge-Kutta方法最高阶不一定是 m 阶。若设 $p(m)$ 是 m 级**Runge-Kutta**方法可达到的最高阶，可证：

$$p(5) = 4, p(6) = 5, p(7) = 6, p(8) = 6, p(9) = 7。$$

例1 分别用Euler法, 改进的Euler法(7-27)和经典Runge-Kutta法(7-30)求解初值问题:

$$u' = 1 - \frac{2tu}{1+t^2}, \quad 0 \leq t \leq 2, \quad u(0) = 0$$

解: Euler法计算公式为: $u_{n+1} = u_n + h \left(1 - \frac{2t_n u_n}{1+t_n^2} \right),$

改进的Euler法计算公式为:

$$u_{n+1} = u_n + \frac{1}{2} h(k_1 + k_2), \quad k_1 = 1 - \frac{2t_n u_n}{1+t_n^2}, \quad k_2 = 1 - \frac{2(t_n + h)(u_n + h k_1)}{1+(t_n + h)^2},$$

经典Runge-Kutta法计算公式为:

$$u_{n+1} = u_n + \frac{h}{6}(k_1 + 2k_2 + 2k_3 + k_4), \quad k_1 = 1 - \frac{2t_n u_n}{1+t_n^2}, \quad k_2 = 1 - \frac{2(t_n + \frac{1}{2}h)(u_n + \frac{1}{2}h k_1)}{1+(t_n + \frac{1}{2}h)^2},$$
$$k_3 = 1 - \frac{2\left(t_n + \frac{1}{2}h\right)\left(u_n + \frac{1}{2}h k_2\right)}{1+(t_n + h)^2}, \quad k_4 = 1 - \frac{2(t_n + h)(u_n + h k_3)}{1+(t_n + h)^2}.$$

取步长 $h=0.5, t_n=0.5n, n=0, 1, 2, 3$ 。 并与精确解： $u(t)=\frac{t(3+t^2)}{3(1+t^2)}$
作比较， 计算结果见下表：

三个方法计算结果比较表

n	t_n	精确解 $u(t_n)$	Euler法		改进Euler法		经典Runge-Kutta 法	
			数值解 u_n	误差	数值解 u_n	误差	数值解 u_n	误差
0	0	0	0	0	0	0	0	0
1	0.5	0.433333	0.500000	0.066667	0.400000	0.033333	0.433218	0.000115
2	1.0	0.666667	0.800000	0.133333	0.635000	0.031667	0.666312	0.000355
3	1.5	0.807692	0.900000	0.092308	0.787596	0.020096	0.807423	0.000269
4	2.0	0.933353	0.985615	0.051282	0.921025	0.012308	0.933156	0.000171



DUT

大连理工大学

DALIAN UNIVERSITY OF TECHNOLOGY

以上我们讨论了求解问题 (7-1), (7-2) 的单步法和多步法。对于上述两类方法求近似解 (数值解) 还应关注三个问题: **收敛性、误差估计和稳定性。**

具体说,

一、数值方法的局部截断误差和阶;

二、在离散点 t_n 处的数值解 u_n 是否收敛到精确解 $u(t_n)$;

三、数值方法的稳定性。



对于第一个问题前面我们已经讨论过，而关于数值方法收敛性问题我们在这里不详细讨论，只给出一些基本结论性的结果，即：

对单步法（7-3），当方法的阶 $p \geq 1$ 时，有整体误差

$$E_n = u(t_n) - u_n = O(h^p)$$

故有 $\lim_{h \rightarrow 0} E_n = 0$ ，因此方法是收敛的。



对于多步法，若方法是 k 步 p 阶法，那么(7-4)是一个 k 阶差分方程，引入多步法(7-4)的第一特征多项式和第二特征多项式：

$$\rho(\lambda) = \sum_{j=0}^k \alpha_j \lambda^j, \quad \sigma(\lambda) = \sum_{j=0}^k \beta_j \lambda^j$$

定义7.1 若(7-4)的第一特征多项式 $\rho(\lambda)$ 的所有根在单位圆内或圆上（ $|\lambda| \leq 1$ ），且位于单位圆周上的根都是单根，称多步法(7-4)满足根条件。



定理7.1 若线性多步法(7-4)的阶 $p \geq 1$, 且满足根条件, 则方法是收敛的。

我们可以证明对于常用的数值方法都是满足收敛性条件的。

下面我们着重讨论第三个问题, 即**数值方法的稳定性**问题。用多步法计算时, 各种因素如初值

$$u_0, u_1, \cdots, u_{k-1}$$

是有误差的, 且这些误差将在计算中传递下去。如果误差积累无限增长, 则会歪曲真解, 这样的算法是不能用的。

例2 初值问题 $u' = 4tu^{\frac{1}{2}}$, $0 \leq t \leq 2$; $u(0) = 1$

精确解为 $u(t) = (1+t^2)^2$ 。考虑二步三阶显式法:

$$u_{n+2} + 4u_{n+1} - 5u_n = 2h(2f_{n+1} + f_n)$$

取步长 $h=0.1$, 初值 $u_0=1$, 附加值: $u_1 = (1+h^2)^2 (h=0.1)$ 。

数值结果表

	精确解	数值解
0	1.0000000	1.0000000
0.1	1.0201000	1.0201000
0.2	1.0816000	1.0812000
0.3	1.1881000	1.1892385
0.4	1.3456000	1.3388660
0.5	1.5625000	1.5929935
...
1.0	4.0000000	-68.639804
1.0	4.8841000	+367.26392
...
2.0	25.0000000	-6.96$\times 10^8$



在开始几步数值解与精确解符合，但在再往后算，数值解的误差则急剧增长，完全歪曲了真解。

通常人们都是通过模型方程来讨论方法的数值稳定性。

模型方程为：

$$u' = \mu u \quad (7-32)$$

而一般形式的一阶微分方程总能化成（7-32）的形式。

本书中数值方法的稳定性也是如此。前提是求解好条件问题，其中 $\text{Re}(\mu) < 0$ 。另外，我们也不考虑 $h \rightarrow 0$ 时方法的渐近稳定性。因为实际计算时， h 是固定的。当某一步 u_n 有舍入误差时，若以后的计算中不会逐步扩大，称这种稳定性为绝对稳定性。此后，若不做特殊说明，都是指绝对稳定性。



例如，对最简单的Euler法

$$u_{n+1} = u_n + hf_n, \quad n = 0, 1, 2 \dots \quad (7-33)$$

用其求解模型方程（7-32）得到

$$u_{n+1} = u_n + h\mu u_n = (1 + \mu h)u_n, \quad n = 0, 1, 2 \dots$$

当 u_n 有舍入误差时，其近似解为 \tilde{u}_n ，从而有

$$\tilde{u}_{n+1} = (1 + \mu h)\tilde{u}_n$$

取 $\varepsilon_n = u_n - \tilde{u}_n$ ，得到误差传播方程

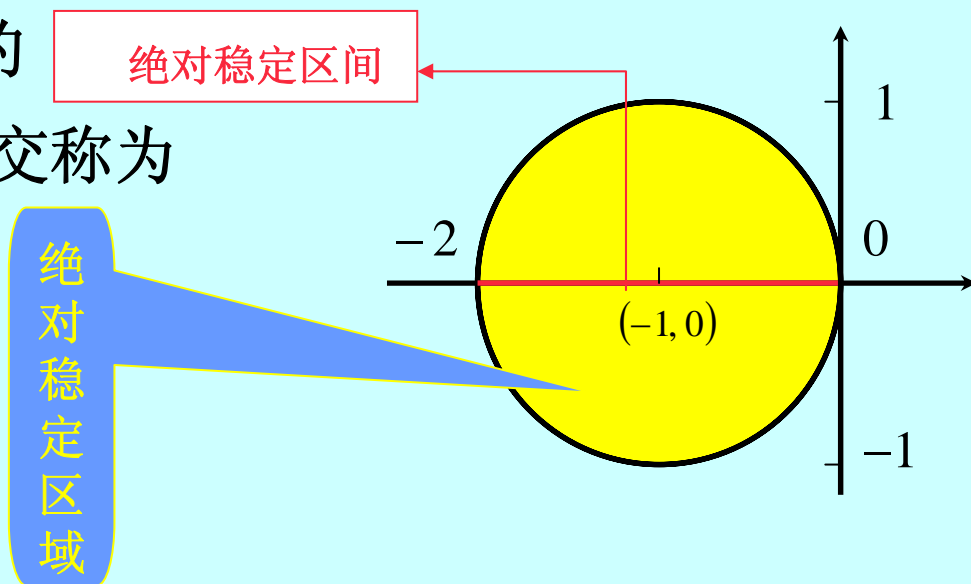
$$\varepsilon_{n+1} = (1 + \mu h)\varepsilon_n,$$

记 $\bar{h} = \mu h$, 只要 $|1+\bar{h}| < 1$, 则显式Euler方法的解和误差都不会恶性发展, 此时方法绝对稳定。又由于实数 $\mu < 0$, 从 $|1+\bar{h}| < 1$, 可得 $-2 < \bar{h} < 0$ 。即 $0 < h < \frac{2}{-\mu}$ 时, (7-33) 绝对稳定,

若 μ 为复数, 在 $\bar{h} = \mu h$ 的复平面上, 则 $|1+\bar{h}| < 1$ 表示为以 $(-1, 0)$ 为圆心, 1 为半径的单位圆。

定义7.2 一个数值方法用于求解模型问题 (7-32), 若在平面中的某一区域 **D** 中方法都是绝对稳定的, 而在区域 **D** 外, 方法是不稳定的, 则称 **D** 是方法的**绝对稳定区域**; 它与实轴的交称为**绝对稳定区间**。

例如, 显式Euler方法的**绝对稳定区域、区间**。如图





下面考察**Runge-Kutta**法的绝对稳定性。

根据定义，在 $m=p$ 阶**Runge-Kutta**法 (7-20) 取 $f=\mu u$ ，则

$$k_1 = \mu u_n$$

$$k_2 = \mu(1 + b_{21}\mu h)u_n = \mu P_1(\mu h)u_n$$

$$k_3 = \mu(u_n + h \sum_{j=1}^2 b_{3j}k_j) = \mu(1 + b_{31}\mu h + b_{32}\mu h P_1(\mu h))u_n = \mu P_2(\mu h)u_n$$

...

$$k_m = \mu P_{m-1}(\mu h)u_n$$

(其中 $P_i(\lambda)$ 是 i 次多项式)，从而有：

$$u_{n+1} = u_n + \mu h \left(\sum_{i=1}^m c_i P_{i-1}(\mu h) \right) u_n = u_n + P_m(\mu h)u_n \quad n = 0, 1, \dots$$



注意, $u' = \mu u$ 的解 $u(t) = e^{\mu t}$ 且 $u^{(j)}(t) = \mu^j u$ $j = 0, 1, \dots, p$

则

$$\begin{aligned} u(t_{n+1}) &= u(t_n) + hu'(t_n) + \frac{h^2}{2!}u''(t_n) + \dots + \frac{h^p}{p!}u^{(p)}(t_n) + O(h^{p+1}) \\ &= (1 + \mu h + \frac{(\mu h)^2}{2!} + \dots + \frac{(\mu h)^p}{p!})u(t_n) + O(h^{p+1}) \end{aligned}$$

若为 p 阶方法, 则应有

$$R(h) = \left[\sum_{k=0}^p \frac{(\mu h)^k}{k!} - (1 + P_m(\mu h)) \right] u(t_n) + O(h^{p+1})$$



从而 $1 + P_m(\mu h) = \left(\sum_{k=0}^p \frac{(\mu h)^k}{k!} \right)$

记 $\bar{h} = \mu h$ ，则可将上式写成

$$u_{n+1} = \left(\sum_{k=0}^m \frac{\bar{h}^k}{k!} \right) u_n = \lambda(\bar{h}) u_n \quad n = 0, 1, \dots$$

进而误差传播方程为： $\varepsilon_{n+1} = \lambda(\bar{h}) \varepsilon_n \quad m = 1, 2, 3, 4$

其中 $\lambda(\bar{h}) = 1 + \bar{h} + \frac{1}{2!} \bar{h}^2 + \dots + \frac{1}{m!} \bar{h}^m.$

注意，当 $m = 1, 2, 3, 4$ 时，解不等式 $|\lambda(\bar{h})| < 1$ 就可得显式 **Runge-Kutta** 公式绝对稳定域。当 $\mu < 0$ 为实数，则得各阶（ $m = 1, 2, 3, 4$ ）的绝对稳定区间（见下表）。



Runge-Kutta法 ($m=1, 2, 3, 4$) 的绝对稳定区间表

级	$\lambda(\bar{h})$	绝对稳定区间
一级	$1 + \bar{h}$	$(-2, 0)$
二级	$1 + \bar{h} + \frac{1}{2!}\bar{h}^2$	$(-2, 0)$
三级	$1 + \bar{h} + \frac{1}{2!}\bar{h}^2 + \frac{1}{6}\bar{h}^3$	$(-2.51, 0)$
四级	$1 + \bar{h} + \frac{1}{2}\bar{h}^2 + \frac{1}{6}\bar{h}^3 + \frac{1}{24}\bar{h}^4$	$(-2.78, 0)$



现在考察多步法 (7-4)，将它用于解模型方程 (7-32) 得到 k 阶线性差分方程

$$\sum_{j=0}^k \alpha_j u_{n+j} = \mu h \sum_{j=0}^k \beta_j u_{n+j} \quad (7-34)$$

若取 $\bar{h} = \mu h$ ，则记 (7-34) 的特征方程为

$$\rho(\lambda) - \bar{h} \sigma(\lambda) = 0 \quad (7-35)$$

其中

$$\rho(\lambda) = \sum_{j=0}^k \alpha_j \lambda^j \quad \sigma(\lambda) = \sum_{j=0}^k \beta_j \lambda^j$$



由 k 阶线性差分方程的性质我们可以得到如下结论，若特征方程（7-35）的根都在单位圆内（ $|\lambda| < 1$ ），则线性多步法（7-4）关于 $\bar{h} = \mu h$ 绝对稳定，其绝对稳定域是复平面 \bar{h} 上的区域：

$$\mathbf{D} = \left\{ \bar{h} \mid |\lambda_j(\bar{h})| < 1, \quad j = 1, 2, \dots, k \right\}$$

例如，对于 $k=1$ 时，考虑隐式方法中最简单的后退Euler法

$$u_{n+1} = u_n + h f(t_{n+1}, u_{n+1}) \quad n=0, 1, \dots$$

其特征方程为： $\rho(\lambda) - \bar{h}\sigma(\lambda) = (1 - \bar{h})\lambda - 1 = 0$

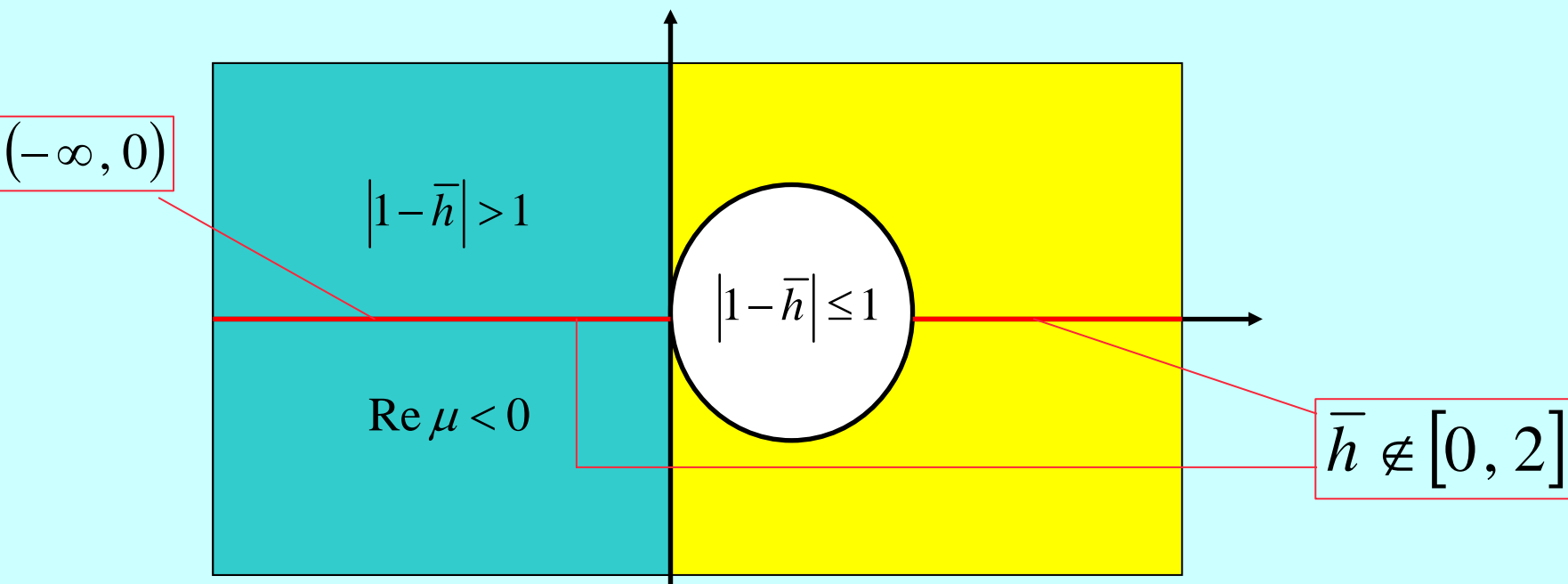


得 $\lambda_1 = \frac{1}{1-\bar{h}}$, 当 $|1-\bar{h}| > 1$ 时, $|\lambda_1| < 1$, 故 $|1-\bar{h}| > 1$ 就是隐式Euler法的绝对稳定区域。

它是 \bar{h} 平面上以 (1.0) 为圆心的单位圆外区域。

当 $\text{Re}\mu < 0$ 时, 它位于 \bar{h} 平面上y轴左侧区域。

当 $\mu < 0$ 为实数时, 绝对稳定区间为 $(-\infty, 0)$ 。





又如，梯形法 $u_{n+1} = u_n + \frac{1}{2}h(f_{n+1} + f_n) \quad n=0,1,\dots$

其特征方程为： $\rho(\lambda) - \bar{h}\sigma(\lambda) = \left(1 - \frac{\bar{h}}{2}\right)\lambda - \left(1 + \frac{\bar{h}}{2}\right) = 0$

其根 $\lambda_1(\bar{h}) = \frac{1 + \frac{\bar{h}}{2}}{1 - \frac{\bar{h}}{2}}$ ，当 $\text{Re}\lambda < 0$ 时， $\left| \frac{1 + \frac{\bar{h}}{2}}{1 - \frac{\bar{h}}{2}} \right| < 1$ ，故梯形公式

的绝对稳定域是 \bar{h} 平面的左半平面。绝对稳定区间为 $(-\infty, 0)$ 。
这样检验绝对稳定性归结为检验特征方程(7-35)的根是否在单位圆内 ($|\lambda| < 1$)。对此有很多判别法，如Schur准则、轨迹法。



我们这里只给出一种简单的、常用的判别法：

实系数二次方程 $\lambda^2 - b\lambda - c = 0$ 的根在单位园内的充分必要条件为：

$$|b| < 1 - c < 2$$

$k=1 \sim 4$ 的隐式Adams类方法的绝对稳定区间（ $1 < 0$ 为实数）。

步	阶	绝对稳定区间
1	2	$(-\infty, 0)$
2	3	$(-6.0, 0)$
3	4	$(-3.0, 0)$
4	5	$(-1.8, 0)$



例 证明求解一阶常微分方程初值问题： $u' = f(t, u)$, $u(0) = u_0$

的差分格式

$$u_{n+2} - u_{n+1} = \frac{h}{12}(5f_{n+2} + 8f_{n+1} - f_n)$$

收敛并求其局部截断误差主项、绝对稳定区间。

解：由差分格式可知， $\rho(\lambda) = \lambda^2 - \lambda$, $\sigma(\lambda) = \frac{1}{12}(5\lambda^2 + 8\lambda - 1)$

令

$$\rho(\lambda) = \lambda(\lambda - 1) = 0,$$

得 $\lambda_1=0$, $\lambda_2=1$ 。则其特征值满足根条件： $|\lambda| < 1$ 。

注意， $\alpha_0=0$, $\alpha_1=-1$, $\alpha_2=1$, $\beta_0=-\frac{1}{12}$, $\beta_1=\frac{8}{12}$, $\beta_2=\frac{5}{12}$, 从而



$$\left\{ \begin{array}{l} C_0 = 1 - 1 = 0 \\ C_1 = 2 - 1 - \left(-\frac{1}{12} + \frac{8}{12} + \frac{5}{12} \right) = 0 \\ C_2 = \frac{1}{2}(-1 + 4) - \frac{3}{2} = 0 \\ C_3 = \frac{1}{6}(-1 + 2^3) - \frac{1}{2} \left(\frac{8}{12} + 2^2 \times \frac{5}{12} \right) = \frac{7}{6} - \frac{7}{6} = 0 \\ C_4 = \frac{1}{4!}(-1 + 2^4) - \frac{1}{3!} \left(\frac{8}{12} + 2^3 \times \frac{5}{12} \right) = \frac{17}{24} - \frac{16}{24} = \frac{1}{24} \neq 0 \end{array} \right.$$

故此为隐式二步三阶法，其局部截断误差主项为： $\frac{1}{24}h^4u^{(4)}(t_n)$ 。

又由

$$\begin{aligned}\rho(\lambda) - \bar{h}\sigma(\lambda) &= \left(1 - \frac{5}{12}\bar{h}\right)\lambda^2 - \left(1 + \frac{8}{12}\bar{h}\right)\lambda + \frac{1}{12}\bar{h} \\ &= \lambda^2 - \left(\frac{12+8\bar{h}}{12-5\bar{h}}\right)\lambda - \frac{(-\bar{h})}{12-5\bar{h}} = 0\end{aligned}$$

而使得 $|\lambda| < 1$ ，的充要条件为：

$$\left| \frac{12+8\bar{h}}{12-5\bar{h}} \right| < \frac{12-4\bar{h}}{12-5\bar{h}} = 1 + \frac{\bar{h}}{12-5\bar{h}} < 2$$

而 $1 + \frac{\bar{h}}{12-5\bar{h}} < 2$ 自然成立。现在再由 $\left| \frac{12+8\bar{h}}{12-5\bar{h}} \right| < \frac{12-4\bar{h}}{12-5\bar{h}}$ 得

$$-12+4\bar{h} < 12+8\bar{h} < 12-4\bar{h} \iff -3+\bar{h} < 3+2\bar{h} < 3-\bar{h}$$

即有 $-3+\bar{h} < 3+2\bar{h}$ ，可得其却对稳定区间： $-6 < \bar{h} < 0$ 。

7.4.2 差分法

本节只考虑求解二阶线性常微分方程边值问题的差分法。

用差分法求解步骤是：

首先，对求解区间作剖分，用有限剖分结点代替连续区间，即将求解区间离散化；

其次，用数值微商公式把微分方程化为差分方程；

再而，求解已得到满足边界条件的线性代数方程组

求解此方程组，得到边值问题在节点上的函数近似值。

考虑二阶常微分方程边值问题

$$\begin{cases} Lu = \frac{d^2 u}{dx^2} + p(x) \frac{du}{dx} + q(x)u = f(x), & a < x < b \end{cases} \quad (7-56)$$

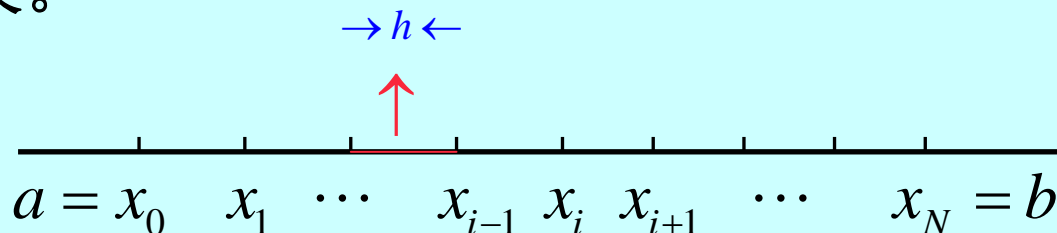
$$\begin{cases} u(a) = \alpha, & u(b) = \beta \end{cases} \quad (7-57)$$

其中 $f, p, q \in \mathbf{C}[a, b]$, $q(x) \leq 0$; α, β 为给定常数。

首先，将区间 $[a, b]$ 分成 N 等分，分点为：

$$x_i = a + ih, \quad i = 0, 1, \dots, N, \quad h = \frac{b-a}{N}$$

于是我们得区间 $I=[a, b]$ 的一个网格剖分。 x_i 称为网格节点， h 称为步长。



现在将方程 (7-56) 在节点 x_i 离散化, 为此由数值微分公式

可得

$$u'(x_i) = \frac{u(x_{i+1}) - u(x_{i-1}))}{2h} + O(h^2)$$

$$u''(x_i) = \frac{u(x_{i+1}) - 2u(x_i) + u(x_{i-1}))}{h^2} + O(h^2)$$

即在节点 x_i 处实现微分算子的离散化。 又设 $p_i = p(x_i)$, $q_i = q(x_i)$,

$f_i = f(x_i)$ 则有在 x_i 处可将方程 (7-56) 写成:

$$\frac{u(x_{i+1}) - 2u(x_i) + u(x_{i-1}))}{h^2} + p_i \frac{u(x_{i+1}) - u(x_{i-1}))}{2h} + q_i u(x_i) = f_i + O(h^2)$$

$$i = 1, 2, \dots, N-1。$$

舍去 $O(h^2)$, 并用 u_i 近似代替 $u(x_i)$, 则得到方程组:

$$\frac{u_{i+1} - 2u_i + u_{i-1}}{h^2} + p_i \frac{u_{i+1} - u_{i-1}}{2h} + q_i u_i = f_i, \quad i = 1, 2, \dots, N-1 \quad (7-58)$$

$$u_0 = \alpha, \quad u_N = \beta \quad (7-59)$$

它的解 u_i 是 $u(x)$ 于 $x=x_i$ 的近似， 称（7-58）和（7-59）为逼近（7-56）和（7-57）的差分方程或差分格式。 重新改写得：

$$\left(1 - \frac{h}{2} p_i\right) u_{i-1} + (q_i h^2 - 2) u_i + \left(1 + \frac{h}{2} p_i\right) u_{i+1} = h^2 f_i,$$

$$i = 1, 2, \dots, N-1$$

将 $u_0=\alpha$, $u_N=\beta$ 分别代入 $i=1$ 和 $i=N-1$ 的两个方程中， 并将已知量移到方程右端后， 写成矩阵形式， 得线性方程组： $AU=F$ 。

其中

$$A_{(N-1) \times (N-1)} = \begin{pmatrix} q_1 h^2 - 2 & 1 + \frac{h}{2} p_1 & & & \\ 1 - \frac{h}{2} p_2 & q_2 h^2 - 2 & 1 + \frac{h}{2} p_2 & & \\ & \ddots & \ddots & \ddots & \\ & & 1 - \frac{h}{2} p_{N-2} & q_{N-2} h^2 - 2 & 1 + \frac{h}{2} p_{N-2} \\ & & & 1 - \frac{h}{2} p_{N-1} & q_{N-1} h^2 - 2 \end{pmatrix}$$



$$U = (u_1, u_2, \dots, u_{N-1})^T,$$

$$F = \left(h^2 f_1 - (1 - \frac{h}{2} p_1) \alpha, h^2 f_2, \dots, h^2 f_{N-2}, h^2 f_{N-1} - (1 + \frac{h}{2} p_{N-1}) \beta \right)^T.$$

可见函数矩阵A是三对角阵。由常微分方程理论可知，当

$q(x) \leq 0$ 时， $x \in [a, b]$ 两点边值问题的解存在且唯一；又当

步长满足 $|h p_i| < 2$ ，即

$$h < \frac{2}{L}, \quad L = \max_{a \leq x \leq b} |p(x)|$$

可证明函数矩阵A是严格对角占优，从而非奇异，我们可用消元法或迭代法求解方程组。



例2 用差分法计算线性边值问题

$$\begin{cases} u'' - u' = -2 \sin x & x \in \left(0, \frac{\pi}{2}\right) \\ u(0) = -1, \quad u\left(\frac{\pi}{2}\right) = 1 \end{cases}$$

其解析解是: $u(x) = \sin x - \cos x$ 。

解：已知 $p(x)=-1$, $q(x)=0$, $\alpha=-1$, $\beta=1$ 。当取 $N=4$, $h=\frac{\frac{\pi}{2}-0}{4}$ 时,

节点为: $x_1=h=\frac{\pi}{8}$, $x_2=2h=\frac{\pi}{4}$, $x_3=3h=\frac{3\pi}{8}$ 。

相应的方程组为:

$$\begin{pmatrix} -2 & 1-\frac{h}{2} & 0 \\ 1+\frac{h}{2} & -2 & 1-\frac{h}{2} \\ 0 & 1+\frac{h}{2} & -2 \end{pmatrix} \begin{pmatrix} u_1 \\ u_2 \\ u_3 \end{pmatrix} = \begin{pmatrix} 1+\frac{\pi}{16}-\frac{\pi^2}{32}\cdot\sin\frac{\pi}{8} \\ -\frac{\sqrt{2}}{64}\pi^2 \\ \frac{\pi}{16}-1-\frac{\pi^2}{32}\cdot\sin\frac{\pi}{8} \end{pmatrix}$$

将相应的参数代入上述方程组, 得

$$\begin{pmatrix} -2 & 0.8037 & 0 \\ 1.964 & -2 & 0.8037 \\ 0 & 1.964 & -2 \end{pmatrix} \begin{pmatrix} u_1 \\ u_2 \\ u_3 \end{pmatrix} = \begin{pmatrix} 1.0783 \\ -0.2181 \\ -1.0886 \end{pmatrix}$$

解得： $u_1 = -0.5351$ ， $u_2 = 0.0101$ ， $u_3 = 0.5503$

解析解是：

$$u\left(\frac{\pi}{8}\right) = -0.5412, \quad u\left(\frac{2\pi}{8}\right) = 0, \quad u\left(\frac{3\pi}{8}\right) = 0.5412。$$

由于取的节点少，步长大，截断误差大，所以计算精度差。
随着节点数增加（步长 h 缩小），精度将会明显提高。



DUT

大连理工大学

DALIAN UNIVERSITY OF TECHNOLOGY

THE END



欧拉 (Leonard Euler, 公元1707-1783年)，历史上最伟大的数学家之一，与阿基米德、牛顿、高斯一起被称为有史以来贡献最大的四位数学家。

欧拉从小就特别喜欢数学，不满10岁就开始自学《代数学》。13岁上大学，两年后获得巴塞尔大学的学士学位，次年又获得巴塞尔大学的哲学硕士学位。1725年，欧拉来到彼得堡，开始了他的数学生涯。

1733年，年仅26岁的欧拉担任了彼得堡科学院数学教授。过度的工作使他得了眼病，右眼失明，时年28岁。1741年欧拉到柏林担任科学院物理数学所所长。1766年，重回彼得堡任职。没过多久，左眼视力衰退，最后完全失明。不幸的事情接踵而来，1771年一场大火将他的书房和大量研究成果全部化为灰烬。

在生命最后17年中他完全失明，这并没有妨碍他的无以伦比的多产的；他既靠视觉又靠听觉记忆。它还有惊人的心算本领，不仅心算算术类型的问题，也心算高等代数和微积分学中要求的更难的问题。他那个时代整个数学领域中的全部主要公式，都精确地储藏在他的记忆中。他还口述了几本书和400篇左右的论文。当大火烧掉他几乎全部的著述之后，欧拉用了一年的时间口述了所有这些论文并作了修订。

可以说欧拉是科学史上最多产的一位杰出的数学家，据统计他共写下了886本书籍和论文，彼得堡科学院为了整理他的著作，足足忙碌了四十七年。



如今几乎每一个数学领域都可以看到欧拉的名字，从初等几何的欧拉线，多面体的欧拉定理，立体解析几何的欧拉变换公式，四次方程的欧拉解法到数论中的欧拉函数，微分方程的欧拉方程，级数论的欧拉常数，变分学的欧拉方程，复变函数的欧拉公式等等，数也数不清。他对数学分析的贡献更独具匠心，《无穷小分析引论》一书便是他划时代的代表作，当时数学家们称他为“分析学的化身”。19世纪伟大数学家高斯曾说：“研究欧拉的著作永远是了解数学的最好方法。”

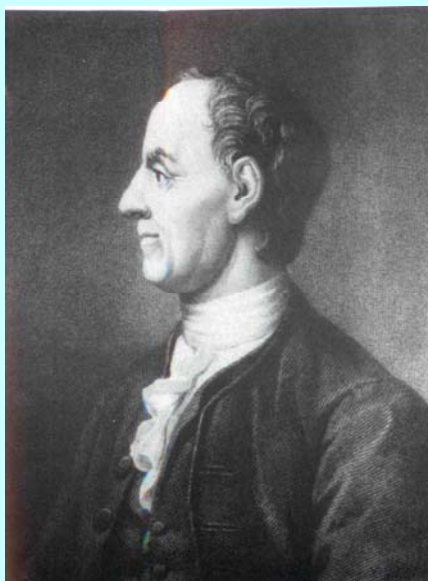
“著名数学家拉普拉斯（Laplace）曾说过：“读读欧拉、读读欧拉，它是我们大家的老师！”

欧拉直到他临终的那一刻仍然神志清醒、思想敏捷，他享年77岁，于1783年9月18日去世。那天下午他计算气球上升的规律消遣—像往常一样，在他的石板上计算，然后他和家人一起吃晚饭。天王星是新近发现的，欧拉略述了对它的轨道的计算。过了一会儿，他让人把他的孙子带进来。在与孩子玩和喝茶的时候，欧拉突然中风。烟斗从他的手里掉下来，他说了一句“我死了”，就中止了他的生命和计算。

欧拉的一生，是为数学发展而奋斗的一生，他那杰出的智慧，顽强的毅力，孜孜不倦的奋斗精神和高尚的科学道德，永远是值得我们学习的。



欧拉 Léonard Euler



莱昂纳尔·欧拉 (Léonard Euler, 1707~1783) 是历史上著作最多的数学家, 被同时代的人称为“分析的化身”。人们评价他: “欧拉计算毫不费力, 就像人呼吸、或者鹰在风中保持平衡一样”, 欧拉—算法学家, 为解决特殊类型的问题设计“算法”的数学家。

欧拉的数学事业开始于牛顿去世的那一年 (1727年)。他在1748年、1755年和1768~1770所著关于微积分的伟大论著 (《无穷小分析引论》、《微分学原理》、《积分学原理》), 立即就成为了经典著作, 并且在四分之一三个世纪中, 继续鼓舞着想成为大数学家的年轻人。

欧拉1707年4月15日出生于瑞士的巴塞尔, 其父是牧师, 欧拉是能在任何地方、任何条件下工作的几个大数学家之一。他常常抱着一个婴儿写作他的论文, 同时稍大一点的孩子们在他周围嬉戏着。据说, 在家人两次叫他吃饭的半个小时左右的间隔中, 他就能草就一篇数学文章。

欧拉是为月球问题形成一个可计算解 (月球理论) 的第一人。

在生命最后17年中他完全失明, 这并没有妨碍他的无以伦比的多产的; 他既靠视觉又靠听觉记忆。它还有惊人的心算本领, 不仅心算算术类型的问题, 也心算高等代数和微积分学中要求的更难的问题。他那个时代整个数学领域中的全部主要公式, 都精确地储藏在他的记忆中。

欧拉直到他临终的那一刻仍然神志清醒、思想敏捷, 他享年77岁, 于1783年9月18日去世。那天下午她计算气球上升的规律消遣—像往常一样, 在他的石板上计算, 然后他和家人一起吃晚饭。天王星是新近发现的, 欧拉略述了对它的轨道的计算。过了一会儿, 他让人把他的孙子带进来。在与孩子玩和喝茶的时候, 欧拉突然中风。烟斗从他的手里掉下来, 他说了一句“我死了”, 就中止了他的生命和计算。